

20 JAHRE

Zeitschrift für anorganische und allgemeine Chemie

Gegründet 1892

Redaktion

G. Fritz
Karlsruhe

W. Hanke
Berlin

R. Hoppe
Gießen

Band 617
11/92

ZAACAB 617, 1-180 (1992)

ISSN 0044-2313

Z. anorg. allg. Chem.
2 E 8704 E



Johann Ambrosius Barth Leipzig · Berlin · Heidelberg

Zeitschrift für anorganische und allgemeine Chemie

Band 617 November 1992 S. 1—180

Inhalt

M. Ruck, A. Simon (Stuttgart): Ln_2XCH_y : Kondensierte Cluster mit zwei verschiedenen interstitiellen Atomen	7
G. Tams, Hk. Müller-Buschbaum (Kiel): Das erste Alkali-Erdalkali-Oxocuprat(II, III): $\text{NaBa}_2\text{Cu}_2^{2+}\text{Cu}^{3+}\text{O}_6$	19
A. Tomaszewska, Hk. Müller-Buschbaum (Kiel): Ein neues Erdalkalimetall-Oxoplatinat-Cuprat $\text{Ca}_{3,5}\text{Cu}_{0,5}\text{PtO}_6$	23
J. Weinreich, Hk. Müller-Buschbaum (Kiel): Zur Kenntnis eines Oxoargentato(I)-aurats(III): $\text{Ba}_4\text{AgAuO}_6$	27
M. Baudler, H. Tschäbunin (Köln): Beiträge zur Chemie des Phosphors. 224. Zur Thermolyse von 1,2-Di- <i>tert</i> -butylidiphosphan, 1,2,3-Tri- <i>tert</i> -butyltriphenophosphan und Tetra- <i>tert</i> -butylcyclotetraphosphan	31
D. Fischer, R. Hoppe (Gießen): Über „Gemischt-Koordinierte“ einkernige Anionen. 2. Ein Oxoruthenat(VI) neuen Typs: $\text{CsK}_5\text{Ru}_2\text{O}_9 = \text{CsK}_5[\text{RuO}_5][\text{RuO}_4]$	37
G. Wehrum, R. Hoppe (Gießen): Oxometallate neuen Typs: Über $\text{Ba}_3\text{NaNbO}_6$ und $\text{Ba}_3\text{NaTaO}_6$	45
D. Lentz, R. Marschall (Berlin): Cycloadditionsreaktionen von Trifluormethylisocyanid an Diphosphene. Synthese und Struktur des neuartigen 2-Phosphiniden-1,3-azaphospholidins $\text{Mes}^*\text{P}=\overbrace{\text{C}-\text{N}(\text{CF}_3)-\text{C}(=\text{NCF}_3)-\text{C}(=\text{NCF}_3)-\text{PMes}^*}$	53
O. Mundt, G. Becker, H. Stadelmann, H. Thurn (Stuttgart): Element—Element-Bindungen. VII. Intermolekulare Wechselwirkungen bei Dihalogen(phenyl)stibanen	59
R. Egle, W. Klinkhammer, A. Schmidt (Stuttgart): Dimethyldithiocarbamatostibane	72
T. F. Krüger, Hk. Müller-Buschbaum (Kiel): Ein Beitrag zur Kristallstruktur von $\text{CuSmMo}_2\text{O}_8$ und $\text{CuGdMo}_2\text{O}_8$	79
Hk. Müller-Buschbaum, F. D. Martin (Kiel): Synthese und Kristallstruktur von $\text{Ba}_{4,5}\text{Ca}_{1,5}\text{La}_2\text{Fe}_4\text{O}_{15}$, $\text{Ba}_5\text{CaEu}_2\text{Fe}_4\text{O}_{15}$ und $\text{Ba}_5\text{CaNd}_2\text{Co}_4\text{O}_{15}$	84
K. Rosenbaum, L. Beyer, R. Richter, E. Hoyer (Leipzig): 3-Diethylamino-5-phenyl-1,2,4-diselenazolium-tetrachloroniccolat(II) — Synthese und Struktur	89
H. Burger, K. Hensen, P. Pickel (Frankfurt/M.): Kristallstrukturbestimmung von N-Trimethylsilyl-N'-methylimidazoliumbromid	93
R. Hübener, U. Abram (Tübingen): Die Kristallstruktur von Tetraphenylarsonium-tetrabromooxotechnetat(V), $(\text{Ph}_4\text{As})\text{TcOBr}_4$	96
R. Kriegel, A. Simon, L. Walz, H.-J. Mattausch, A. Feltz (Jena, Ulm, Stuttgart): Über die Verbindung $\text{Sr}_7\text{Mn}_4\text{O}_{15}$ und Beziehungen zur Struktur von Sr_2MnO_4 und $\alpha\text{-SrMnO}_3$	99

M. Czjzek, H. Fuess, I. Pabst (Darmstadt): Crystal Structure and Magnetic Properties of Tetra(monomethylammonium) Hexachloroytterbatochloride ($\text{CH}_3\text{NH}_3)_4\text{YbCl}_7$	105
E. Fritsch, K. Polborn, K. Sünkel, H. Köhler †, L. Jäger, W. Beck (München, Halle/S.): Pseudohalogeno-Metallverbindungen. LXXV. Pentacarbonylrhenium- und Triphenylphosphangold-Komplexe mit Pseudohalogeniden: $(\text{OC})_5\text{ReX}$, Ph_3PAuX ($\text{X} = \text{ONC}(\text{CN})_2$, o-MeC ₆ H ₄ SO ₂ C(CN) ₂ , o-MeC ₆ H ₄ SO ₂ NCN, Ph ₂ S)PNCN)	110
L. Jäger, A. Kolbe, K. Polborn, W. Beck, M. Hvastijova (Halle/S., München, Bratislava/ČSFR): Pseudoelementverbindungen. I. Zum Koordinationsverhalten von Diphenylcyanamido-thiophosphinat	117
L. Jäger, H.-D. Schädler, U. Grobe, V. I. Nefedov, H. Köhler † (Halle/S., Moskau/Rußland): Pseudoelementverbindungen. II. Quantenchemische Untersuchungen an pseudoelementmodifizierten Nitrit-Ionen $[\text{EO}_{2-n}\text{Y}_n]^-$ ($\text{E} = \text{N}, \text{C}(\text{CN})$; $\text{Y} = \text{C}(\text{CN})_2$)	123
A. Leclaire, J. Chardon, M. M. Borel, A. Grandin, B. Raveau (Caen/France): A New Molybdenum(III) Phosphate: BaMo ₂ P ₄ O ₁₄ Isotypic with BaM ₂ P ₄ O ₁₄ ($\text{M} = \text{Ti}^{\text{III}}, \text{V}^{\text{III}}$)	127
P. Rittner, H. Oppermann (Dresden): Zur Calorimetrie der Bismutoxidhalogenide. III. Bismutoxidiode	131
R. Minkwitz, W. Meckstroth, H. Preut (Dortmund): Darstellung der Dichlormethyleniminium-Salze $\text{Cl}_2\text{C}=\text{NCIH}^+\text{MF}_6^-$ und $\text{Cl}_2\text{C}=\text{NCICH}_3^+\text{MF}_6^-$ ($\text{M} = \text{As}, \text{Sb}$) und Kristallstruktur von Dichlormethyleniminiumhexachloroantimonat $\text{Cl}_2\text{C}=\text{NH}_2^+\text{SbCl}_6^-$	136
R. Minkwitz, W. Meckstroth (Dortmund): Darstellung der Halogennitrium-Salze $\text{XCNH}^+\text{MF}_6^-$ ($\text{X} = \text{Cl}, \text{Br}, \text{I}; \text{M} = \text{As}, \text{Sb}$) und der Trifluoracetonitrilium-Salze $\text{CF}_3\text{CNH}^+\text{MF}_6^-$	143
L. Riesel, R. Helbing (Berlin): Darstellung und oxidative Derivatisierung von Dialkylthiophosphiten	148
A. Brückner, R. Lück, U. Calov, N. Steinfeldt (Berlin): Thermisch induzierte Bewegungsvorgänge in kristallinen Guanidiniumhexafluorometallaten, $(\text{C}(\text{NH}_2)_3)_3\text{MF}_6$ ($\text{M} = \text{Al}, \text{Ga}, \text{In}$) — eine <i>in situ</i> ESR-Untersuchung	155
R. Kaploniek, G. Fechtel, U. Baumeister, H. Hartung (Halle/S.): Kristallstrukturen und spektroskopische Untersuchungen ternärer Cu ^{II} -Komplexe mit bicyclischen Dicarbonsäuren und N,N-Donor-Liganden	161
D. Heidemann, C. Hübert, W. Schwieger, P. Grabner, K.-H. Bergk, P. Sarv (Berlin, Halle/S., Tallinn/Estland): ²⁹ Si- und ²³ Na-Festkörper-MAS-NMR-Untersuchungen an Modifikationen des Na ₂ Si ₂ O ₅	169

Pseudohalogeno-Metallverbindungen. LXXV [1]

Pentacarbonylrhenium- und Triphenylphosphangold-Komplexe mit Pseudohalogeniden: $(OC)_5ReX$, Ph_3PAuX ($X = ONC(CN)_2$, $o-MeC_6H_4SO_2C(CN)_2$, $o-MeC_6H_4SO_2NCN$, $Ph_2(S)PNCN$)

E. Fritsch, K. Polborn, K. Sünkel und W. Beck*

München, Institut für Anorganische Chemie der Ludwig-Maximilians-Universität

H. Köhler† und L. Jäger

Halle/Saale, Sektion Chemie der Martin-Luther-Universität Halle-Wittenberg

Bei der Redaktion eingegangen am 6. Februar 1992.

Inhaltsübersicht. Die Pseudohalogenide (X^-) Nitrosodicyanmethanid, o-Tosyldicyanmethanid, o-Tosylcyanamid und Diphenylthiophosphinylcyanamid setzen sich mit den „Metallorganischen Lewis-Säuren“ $(OC)_5Re^+$ (als $(OC)_5ReFBF_3$) und Ph_3PAu^+ (als Ph_3PAuNO_3) zu den neutralen Titel-Komplexen $(OC)_5Re-X$ bzw. Ph_3PAu-X um. Nach der Röntgenstrukturanalyse sind Nitrosodicyanmethanid über das Nitroso-N-Atom an

das $Re(CO)_5$ -Fragment, o-Tosyl-dicyanmethanid und o-Tosyl-cyanamid über ein Cyanid-N-Atom an die Ph_3PAu - bzw. $(CO)_5Re$ -Gruppe gebunden.

Diphenylthiophosphinylcyanamid ist dagegen über das Schwefel-Atom an das Gold-Atom koordiniert. Die spektroskopischen Daten (IR, NMR) von 1–6 werden beschrieben.

Pseudohalogeno Metal Compounds. LXXV.

Pentacarbonylrhenium and Triphenylphosphinegold Complexes of Pseudohalide Anions: $(OC)_5ReX$, Ph_3PAuX ($X = ONC(CN)_2$, $o-MeC_6H_4SO_2C(CN)_2$, $o-MeC_6H_4SO_2NCN$, $Ph_2(S)PNCN$)

Abstract. The pseudohalides (X^-) nitrosodicyanmethanide, o-tosyldicyanmethanide, o-tosylcyanamide and diphenylthiophosphinylcyanamide react with the Organometallic Lewis Acids $(OC)_5Re^+$ (as $(OC)_5ReFBF_3$) and Ph_3PAu^+ (as Ph_3PAuNO_3) to give the neutral title complexes $(OC)_5Re-X$ and Ph_3PAu-X , respectively. X-ray diffraction shows that nitroso-dicyanmethanide is coordinated through the nitroso N-atom to the $Re(CO)_5$ fragment. Cyanide-N-coordination is observed for the com-

plexes with o-tosyldicyanmethanide and o-tosylcyanamide whereas diphenylthiophosphinylcyanamide is S-coordinated to the gold atom. Spectroscopic data (IR, NMR) of 1–6 are described.

Key words: Pentacarbonylrhenium Complexes; Nitrosodicyanmethanide; o-Tosyldicyanmethanide; o-Tosylcyanamide; Diphenylthiophosphorylcyanamide

Einleitung

Das Pseudochalkogen-Konzept [2] wurde von Köhler eingeführt und hat zu einer systematischen Betrachtung zahlreicher Anionen geführt. Pseudochalkogenide [3] sind eng mit Pseudohalogeniden verbunden. Durch (for-

male) Substitution von O^{2-} durch die Pseudochalkogenide $C(CN)_2^{2-}$ und NCN^{2-} in Nitrit, Sulfonat und Thiophosphinat entstehen gemischte Chalkogeno-Pseudochalkogeno-Anionen (vgl. Tab. 1). Nitrosodicyanmethanid, Sulfonylcyanamid bzw. -dicyanmethanid sowie

Phosphinylcyanamid können dabei, wie auch Tricyanmethanid und Dicyanamid als ambidente Pseudohalogenide des allgemeinen Typs $[C(CN)_2X]^-$ und $[N(CN)X]^-$ ($X = CN, NO$, allgemein ein elektronegativer, zur Mesomeriebeteiligung befähigter Substituent) betrachtet werden.

Tabelle 1 Pseudochalkogeno-Anionen

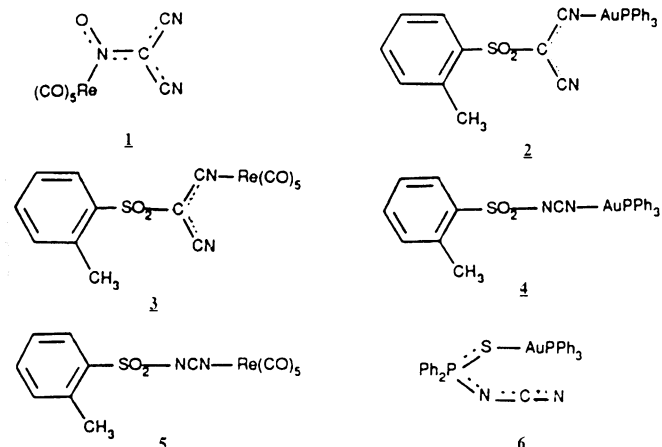
O	NCN	C(CN) ₂
NCO ⁻	NCNCN ⁻	NCC(CN) ₂ ⁻
ONO ⁻		ONC(CN) ₂ ⁻
RO ₂ SO ⁻	Ro ₂ SNCN ⁻	RO ₂ SC(CN) ₂ ⁻
Ph ₂ P(S)O ⁻	Ph ₂ P(S)NCN ⁻	

Die elektronisch und koordinativ ungesättigte metallorganische Lewis-Säure [4] $(OC)_5Re^+$ (als $(OC)_5ReBF_3$) hat sich als sehr nützliche Sonde für das Koordinationsverhalten ambivalenter Liganden erwiesen. Pentacarbonylrhenium-Komplexe $(OC)_5Re-X$ wurden mit zahlreichen Pseudohalogeniden und anderen einfachen Anionen beschrieben (X^- = Halogenid, CN⁻, SCN⁻, SeCN⁻, NO₂⁻, NO₃⁻, O₂CH⁻, C(CN)₃⁻, N(CN)₂⁻, H₂PO₄⁻, 1/2 SO₄²⁻) [5–7]. Durch Röntgenstrukturanalyse wurde die Koordination von Tricyanmethanid und Dicyanamid über ein Cyanid-N-Atom bewiesen [6]. Ebenso ist eine Reihe von Komplexen Ph₃PAuX mit Monoanionen bekannt [8].

Im folgenden berichten wir über die Darstellung und die Struktur von $(OC)_5Re$ - und Ph₃PAu-Verbindungen mit den in Tab. 1 aufgeführten Pseudohalogeniden.

Ergebnisse und Diskussion

Durch Umsetzung von $(OC)_5ReFBF_3$ bzw. $[(OC)_5ReOH_2]^+BF_4^-$ und Ph₃PAuNO₃ mit Pseudochalkogenonitrit, -sulfonat und -thiophosphinat sind die Komplexe **1–6** zugänglich.



Die Koordinationsstelle dieser Liganden ist im allgemeinen bereits aus den IR-Spektren (siehe experimentellen Teil) zu entnehmen. Charakteristisch für die Bin-

dung der Re(CO)₅-Gruppe an Nitrosodicyanmethanid über das Nitroso-N-Atom ist die Verschiebung der ν_s CNO- und ν_{as} CNO-Absorptionen zu größeren Wellenzahlen gegenüber dem freien ONC(CN)₂⁻-Ion (vgl. experimenteller Teil).

Köhler und Mitarb. fanden bei 3d-Metall-Ionen stets diese Koordination [2, 9]. Für **2** und **3** ist aus der Verschiebung der ν CN-Banden nach größeren Wellenzahlen auf Koordination über das Cyano-N-Atom zu schließen. Die unterschiedlichen CN-Gruppen in **2** und **3** sind durch zwei Signale im ¹⁴N-NMR-Spektrum zu erkennen. Weniger charakteristisch für die Unterscheidung zwischen Carbodiimid- oder Cyanamid-Struktur sind die IR-Banden von **4** und **5**. Im ¹³C-NMR-Spektrum von **4** kann ein breites Signal bei 122,6 ppm dem Carbodiimid-C-Atom zugeordnet werden. Diese Verschiebung ist fast identisch mit der des analog gebauten Me₃Sn-Derivates [10].

Röntgenstrukturanalysen von **1**, **2**, **5** und **6**

Die kristallographischen Daten sind in Tabelle 2 zusammengefaßt. Die Tabellen 3–6 enthalten die Atomparameter sowie ausgewählte Bindungsabstände und -winkel. Der Nitrosodicyanmethanid-Ligand ist über das N-Atom der Nitrosyl-Gruppe an das Rhenium-Atom gebunden, dabei liegt die Projektion des planaren Liganden auf die äquatoriale Ebene der vier cis-ständigen Carbonyl-Liganden ziemlich genau auf der Winkelhalbierenden des Re—C₃—C₄-Fragments. Im Rahmen der Standardabweichungen sind die Abstände des Rhenium-Atoms zu den vier cis-ständigen Carbonyl-C-Atomen mit durchschnittlich 200 pm einander gleich, während die Bindung zum trans-ständigen CO-Liganden mit 194(1) pm deutlich verkürzt ist, entsprechend einem stärkeren Donorvermögen des ONC(CN)₂-Liganden im Vergleich zum CO-Liganden. Aufgrund der relativ hohen Standardabweichungen lassen sich über die übrigen Bindungslängen, die von denen in dem Kaliumsalz KONC(CN)₂ [11] kaum abweichen, keine vergleichenden Aussagen treffen. Die Winkel am Rhenium entsprechen den Erwartungen an einen oktaedrischen Komplex; auffällig sind die leicht verkleinerten Winkel zwischen dem trans-ständigen CO-Liganden und den beiden CO-Liganden, die dem ONC(CN)₂-Liganden am nächsten kommen (87,7(4) $^\circ$ bzw. 87,5(4) $^\circ$). Die Winkelsumme am Nitrosyl-Stickstoff-Atom N1 beträgt 360,1 $^\circ$ entsprechend einer völlig planaren Umgebung. Offensichtlich wegen sterischer Hinderung der Nitrilgruppe C8—N3 mit den Carbonylgruppen C4—O4 und C3—O3 ist der Winkel Re1—N1—C6 mit 127,2(7) $^\circ$ gegenüber den anderen beiden Winkeln am N1-Atom besonders aufgeweitet. Auch das zentrale Kohlenstoffatom des ONC(CN)₂-Liganden weist eine völlig planare Umgebung auf (Winkelsumme 359,9 $^\circ$).

Bisher wurden die Metallverbindungen AgONC(CN)₂ [12] und Nd[ONC(CN)₂] · 4OP(NMe₂)₃ [13] röntgenographisch charakterisiert.

Tabelle 2 Kristalldaten und Parameter der Strukturbestimmung [19]

	1	2	6
Formel	$C_8N_3O_6Re$	$C_{28}H_{22}AuN_2O_2PS$	$C_{31}H_{25}AuN_2P_2S$
Molmasse	420,3	678,5	716,5
Kristallsystem	monoklin	monoklin	monoklin
Raumgruppe	P ₂ / <i>c</i>	P ₂ / <i>n</i>	P ₂ / <i>n</i>
Gitterkonstanten			
<i>a</i> [pm]	724,1(2)	1408,9(3)	1053,8(3)
<i>b</i>	1210,9(2)	1246,6(3)	2153,6(5)
<i>c</i>	1301,6(3)	1567,4(4)	1293,0(3)
β [$^\circ$]	94,46(2)	112,18(2)	104,80(2)
Zellvolumen [nm ³]	1,1313(9)	2,5492(4)	2,8373(5)
<i>Z</i>	4	4	4
Ber. Dichte [g/cm ³]	2,47	1,77	1,68
Meßtemperatur [K]	291	294	294
Strahlung	MoK α	MoK α	MoK α
μ [mm ⁻¹]	10,909	59,28	53,79
F(000)	768	1320	1400
Kristallgröße [mm]	0,11 × 0,13 × 0,22	0,13 × 0,27 × 0,6	0,17 × 0,30 × 0,53
Diffraktometer	Syntex R3	Enraf-Nonius CAD4	Enraf-Nonius CAD4
Meßmethode	ω -Scan	ω -Scan	ω -Scan
Meßbereich 2 Θ	2 – 40°	4 – 46°	4 – 46°
Oktant	+ <i>h</i> ± <i>k</i> ± 1	± <i>h</i> + <i>k</i> + 1	± <i>h</i> + <i>k</i> + 1
gemessene Reflexe	2356	3880	5653
symmetrieeunabhängige R.	1062	3437	3828
davon beobachtet	965 ($I \geq 2\sigma(I)$)	3217 ($I \geq 2\sigma(I)$)	3557 ($I \geq 2\sigma(I)$)
Strukturlösung	Patterson	Patterson	Patterson
Verfeinerung	full-matrix	full-matrix	full-matrix
H-Atomlagen	–	berechnet („riding model“)	berechnet („riding model“)
Verfeinerte Parameter	163	316	334
Gewichtsschema	[$\sigma^2(F) + 0,0003(F)^2$] ⁻¹	[$\sigma^2(F)$] ⁻¹	[$\sigma^2(F)$] ⁻¹
Absorptionskorrektur	Psi-Scan, 5 Reflexe	Psi-Scan, 6 Reflexe	Psi-Scan, 8 Reflexe
T_{\min} , T_{\max}	0,0939 – 0,1108	($T_{\min} = 0,826 T_{\max}$)	($T_{\min} = 0,743 T_{\max}$)
Gütefaktoren R; R _w	2,65%; 2,54%	2,16%; 2,26%	2,04%; 2,11%
max. Restelektronendichte	$0,76 \times 10^{-6}$ e/pm ³	$0,54 \times 10^{-6}$ e/pm ³	$0,47 \times 10^{-6}$ e/pm ³

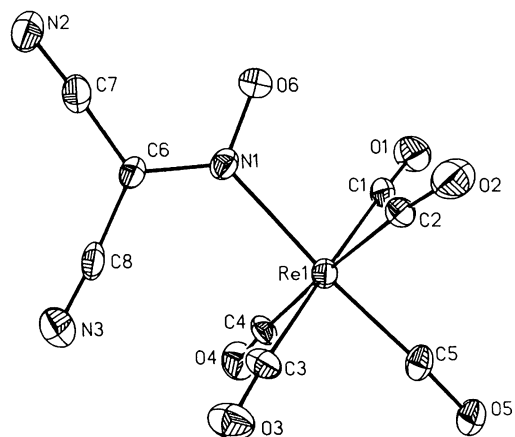
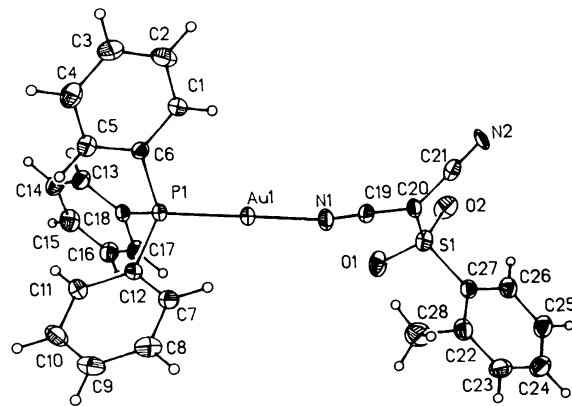
**Abb. 1** Struktur von **1** im Kristall. Die thermischen Ellipsoide entsprechen 20% Aufenthaltswahrscheinlichkeit**Abb. 2** Struktur von **2** im Kristall. Die thermischen Ellipsoide entsprechen 20% Aufenthaltswahrscheinlichkeit

Tabelle 3 Atomkoordinaten ($\times 10^4$) und äquivalente isotrope Auslenkungsparameter ($\text{pm}^2 \times 10^{-1}$) in **1** (Standardabweichungen in Klammern)

Atom	x	y	z	U(eq) ^a
Re(1)	2630(1)	2016(1)	1313(1)	43(1)
C(1)	846(15)	1477(8)	143(8)	55(4)
O(1)	-157(11)	1160(7)	-479(6)	86(3)
C(2)	4739(15)	1529(8)	524(7)	51(4)
O(2)	5927(11)	1188(7)	109(6)	84(3)
C(3)	4415(14)	2515(9)	2459(8)	52(4)
O(3)	5430(10)	2730(7)	3118(6)	78(3)
C(4)	491(14)	2425(9)	2123(7)	51(4)
O(4)	-716(11)	2575(7)	2585(6)	82(3)
C(5)	2621(12)	587(10)	1979(9)	54(4)
O(5)	2622(10)	-223(7)	2420(6)	73(3)
N(1)	2617(10)	3568(7)	448(7)	50(3)
O(6)	2621(10)	3475(6)	-518(6)	71(3)
C(6)	2564(12)	4603(8)	833(8)	49(4)
C(7)	2430(14)	5516(11)	160(9)	64(5)
N(2)	2378(15)	6297(9)	-346(9)	92(5)
C(8)	2503(14)	4759(8)	1921(11)	60(5)
N(3)	2478(15)	4950(10)	2745(10)	91(5)

^a) äquivalente isotrope U berechnet als ein Drittel der Spur des orthogonalen U_{ij} Tensors

In **2** ist das Goldatom linear von einem P-Atom und einem N-Atom des Tosyldicyanmethanid-Liganden umgeben (Abb. 2). Die Bindung an dem koordinierten N-Atom ist hingegen leicht gewinkelt ($166,3(3)^\circ$), die an dem benachbarten Cyanid-C-Atom (C19) wieder linear. Die Winkelsumme am zentralen C-Atom (C20) der Tosyldicyanmethanid-Einheit beträgt $359,5^\circ$ entsprechend einer planaren Struktur. Die Bindung von diesem Atom zu der koordinierten Cyanogruppe ist mit $137,3(7)$ pm deutlich kürzer als die zu der unkoordinierten CN-Gruppe C21—N2 ($145,0(8)$ pm). Umgekehrt ist die C—N-Bindungslänge in der koordinierten Gruppe um etwa 4 pm länger als in der unkoordinierten Gruppe. Dies entspricht einem partiellen Doppelbindungsanteil entsprechend Au—N=C=C[(CN)(Ts)].

Die Qualität der Kristalle von **5** war für eine gute Verfeinerung der Struktur nicht ausreichend. Dennoch kann die Struktur von **5** als Carbodiimid-Derivat eindeutig erkannt werden (Abb. 3).

Gold(I) bildet zahlreiche Komplexe mit Schwefel-haltigen Liganden [8]. Es überrascht daher nicht, daß in **6** das Schwefelatom als Donor bevorzugt wird. Der Winkel am Au-Atom in **6** weicht mit 175° nur geringfügig von der Linearität ab. Von den Winkeln am zentralen P-Atom des Ph₂P(S)(NCN)-Liganden ist nur der zwischen Schwefel und Stickstoff mit ca. 117° signifikant von dem „idealen“ Tetraederwinkel verschieden. Die Cyanamid-Gruppierung ist nahezu linear (ca. 177°), der Winkel zum Phosphor-Atom beträgt etwa 123° und entspricht damit dem erwarteten Wert. Die Bindung des mittleren

Tabelle 4 Atomkoordinaten ($\times 10^4$) und äquivalente isotrope Auslenkungsparameter ($\text{pm}^2 \times 10^{-1}$) in **2** (Standardabweichungen in Klammern)

Atom	x	y	z	U(eq) ^a
Au(1)	3717(1)	679(1)	2332(1)	50(1)
P(1)	2294(1)	1475(1)	2322(1)	45(1)
C(1)	1946(3)	2074(4)	525(3)	57(2)
C(2)	1511(4)	2692(4)	-253(3)	75(3)
C(3)	790(4)	3455(5)	-303(3)	72(2)
C(4)	515(4)	3606(4)	436(4)	70(2)
C(5)	947(3)	3014(4)	1228(3)	57(2)
C(6)	1670(3)	2240(3)	1273(3)	43(2)
C(7)	3474(3)	2916(4)	3625(3)	57(2)
C(8)	3654(4)	3671(4)	4309(3)	74(3)
C(9)	2916(5)	3909(4)	4644(3)	74(3)
C(10)	1982(4)	3406(4)	4287(3)	73(3)
C(11)	1783(4)	2657(4)	3598(3)	60(2)
C(12)	2538(3)	2413(3)	3259(3)	47(2)
C(13)	343(3)	581(4)	1884(3)	58(2)
C(14)	-335(3)	-125(4)	2023(3)	71(2)
C(15)	19(4)	-865(4)	2714(4)	74(3)
C(16)	1041(4)	-937(4)	3261(3)	67(2)
C(17)	1715(3)	-229(4)	3128(3)	57(2)
C(18)	1374(3)	537(3)	2427(3)	44(2)
S(1)	6733(1)	-2314(1)	2753(1)	65(1)
O(1)	6064(3)	-2398(3)	3250(3)	90(2)
O(2)	6775(3)	-3166(3)	2149(3)	93(2)
N(1)	5018(3)	-16(3)	2346(3)	63(2)
N(2)	7020(4)	-780(4)	816(3)	61(2)
C(19)	5622(3)	-540(4)	2222(3)	53(2)
C(20)	6370(3)	-1157(4)	2104(3)	52(2)
C(21)	6742(3)	-939(4)	1376(4)	60(2)
C(22)	8278(4)	-1343(4)	4229(4)	70(2)
C(23)	9279(4)	-1338(5)	4876(3)	79(3)
C(24)	9975(4)	-2111(5)	4886(4)	82(3)
C(25)	9683(4)	-2904(5)	4244(4)	78(3)
C(26)	8695(4)	-2935(4)	3573(3)	66(2)
C(27)	7997(3)	-2148(4)	3573(3)	54(2)
C(28)	7565(5)	-480(5)	4282(4)	113(4)

^a) äquivalente isotrope U berechnet als ein Drittel der Spur des orthogonalen U_{ij} Tensors

C-Atoms zum endständigen Stickstoff ist um etwa 12 pm kürzer als die zum P-gebundenen Stickstoff, während in dem eben erwähnten Zinn-Komplex diese Differenz etwa 10 pm beträgt. Die P—S-Bindung ist mit $202,4(2)$ pm hingegen deutlich länger als in dem N-gebundenen Zinn-Derivat Ph₂(S)PNCNSnMe₃. Ansonsten sind die Unterschiede in den Bindungsparametern trotz verschiedener Koordinationsweise überraschend gering [10].

Experimenteller Teil

Die Ausgangsverbindungen (OC)₂ReFBF₃ [14], Ph₃PAuNO₃ [15], K[ONC(CN)₂] [16], Na[o-TosC(CN)₂] [17], Na[o-TosNCN] [17] und Na[Ph₂P(S)NCN] [18] wurden nach Literaturangaben dargestellt.

Tabelle 5 Atomkoordinaten ($\times 10^4$) und äquivalente isotrope Auslenkungsparameter ($\text{pm}^2 \times 10^{-1}$) in **6** (Standardabweichungen in Klammern)

Atom	x	y	z	U(eq) ^a
Au(1)	948(1)	598(1)	2133(1)	49(1)
S(1)	-513(1)	643(1)	3198(1)	53(1)
P(1)	329(1)	1369(1)	4113(1)	47(1)
N(1)	310(4)	2023(2)	3525(3)	61(1)
N(2)	713(6)	2158(2)	1782(4)	116(3)
C(1)	-797(4)	1006(2)	5715(4)	60(2)
C(2)	-1483(4)	1098(2)	6467(4)	73(2)
C(3)	-1940(5)	1663(3)	6628(4)	75(2)
C(4)	-1691(5)	2158(3)	6046(4)	88(3)
C(5)	-1012(5)	2075(2)	5273(4)	73(2)
C(6)	-573(4)	1491(2)	5103(3)	48(1)
C(7)	2375(4)	551(2)	5021(4)	66(2)
C(8)	3649(5)	412(3)	5565(4)	83(2)
C(9)	4535(5)	876(3)	5921(4)	88(3)
C(10)	4168(5)	1472(3)	5776(4)	86(2)
C(11)	2897(5)	1621(2)	5222(4)	73(2)
C(12)	1985(4)	1161(2)	4835(3)	50(2)
C(13)	538(5)	2080(2)	2614(4)	67(2)
P(2)	2464(1)	492(1)	1191(1)	49(1)
C(14)	4056(4)	-568(2)	1376(4)	62(2)
C(15)	4241(5)	-1203(2)	1254(4)	75(2)
C(16)	3219(5)	-1572(2)	786(4)	73(2)
C(17)	1975(5)	-1330(2)	427(4)	77(2)
C(18)	1781(4)	-705(2)	570(4)	67(2)
C(19)	2823(4)	-319(2)	1033(3)	50(2)
C(20)	2323(4)	513(2)	-995(4)	64(2)
C(21)	2115(5)	827(3)	-1966(4)	82(2)
C(22)	1678(5)	1421(3)	-2069(5)	81(2)
C(23)	1393(5)	1707(2)	-1219(5)	83(2)
C(24)	1564(4)	1414(2)	-260(4)	64(2)
C(25)	2061(4)	816(2)	-138(3)	49(2)
C(26)	4934(4)	982(2)	1294(4)	77(2)
C(27)	6084(5)	1277(3)	1798(5)	89(3)
C(28)	6292(5)	1479(3)	2826(4)	78(2)
C(29)	5395(5)	1367(2)	3374(4)	82(2)
C(30)	4254(4)	1057(2)	2889(4)	69(2)
C(31)	3995(4)	874(2)	1845(3)	51(2)

^a) äquivalente isotrope U berechnet als ein Drittel der Spur des orthogonalen U_{ij} Tensors

Darstellung der Verbindungen 1–6

[Re(CO)₅]N(O)C(CN)₂ (1): Eine Lösung von 130 mg (CO)₅ReFBF₃ (314 µmol) in 5 ml dest. Wasser wird mit einer Lösung von 42 mg Kalium-nitrosodicyanmethanid (318 µmol) in 2 ml Wasser versetzt. Nach einiger Zeit beginnt ein gelber Niederschlag auszufallen. Die Suspension wird 6 h weitergerührt, anschließend abzentrifugiert, zweimal mit Wasser gewaschen und der Rückstand im Hochvak. getrocknet.

Ausbeute: 117 mg (89%). — IR (cm⁻¹, in Nujol): 2221 w, 2207 m (vCN), 2167 m, 2062 sh, 2043 vs, 2022 s, 1992 sh, 1925 m, sh (vCO), 1366 s (v_{as}NCO), 1311 s (v_sNCO), 1253 s, 1245 m (vCC), 846 w (vNO).

$C_8N_3O_6Re$ (420,3) ber.: C 22,86; N 10,00; gef.: C 22,40; N 9,57%.

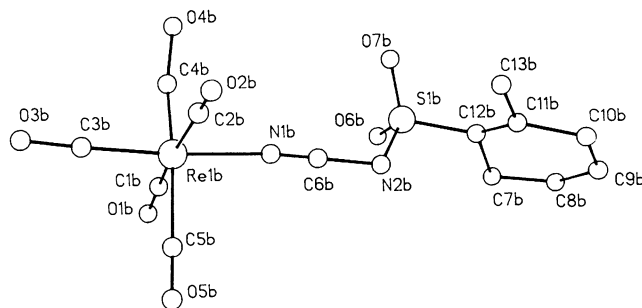


Abb. 3 Struktur von **3** im Kristall. Die thermischen Ellipsoide entsprechen 20% Aufenthaltswahrscheinlichkeit

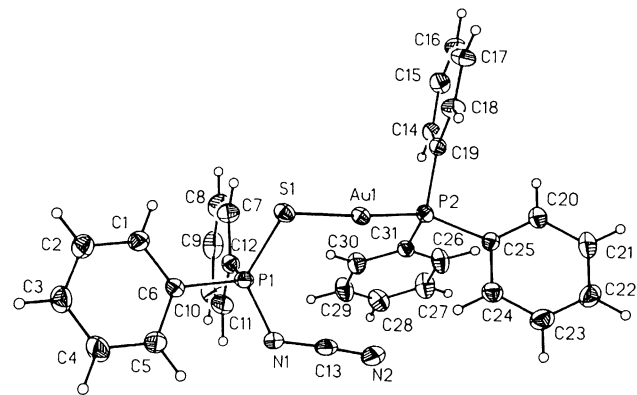


Abb. 4 Struktur von **6** im Kristall. Die thermischen Ellipsoide entsprechen 20% Aufenthaltswahrscheinlichkeit

Durch Umkristallisieren aus einer Acetonitril/Essigester-Mischung (2:1) wurden für die Röntgenstrukturanalyse geeignete, feine gelbe Nadeln erhalten.

o-Me—C₆H₄—SO₂C(CN)CN—AuPPh₃, (2): Eine Lösung von 100 mg Ph₃PAuNO₃ (192 µmol) in 10 ml Methylenchlorid wird unter Rühren mit 50 mg festem Na[o-Me—C₆H₄—SO₂C(CN)₂] (206 µmol) versetzt. Nach 2 h Rühren bei Raumtemperatur wird der aus Natriumnitrat und unumgesetztem Sulfonat bestehende Niederschlag abzentrifugiert und zweimal mit je 5 ml Methylenchlorid extrahiert. Die gesammelten Lösungen werden zur Trockne eingeengt. Der ölige Rückstand wird durch Rühren in 20 ml kaltem Methanol in einen farblosen Festkörper überführt, abzentrifugiert und im Hochvak. getrocknet. Durch Eindiffundieren von Diethylether in eine Lösung von **2** in CDCl₃ im NMR-Rohr konnten zur Röntgenstrukturanalyse geeignete Kristalle erhalten werden.

Ausbeute: 112 mg (84%). — IR (cm⁻¹, in Nujol): 2212 s, 2177 vs, 2138 m, sh (vCN), 1310 vs, 1319 vs (v_{as}SO₂), 1148 vs, 1133 vs (v_sSO₂). — ¹³C-NMR (ppm, CH₂Cl₂, C₆D₆): 143,1, 137,0, 132,8, 132,3, 129,1, 128,6 (Aromat), 126,2 (CN), 128,3 (CNAu), 43,8 (C(CN)₂), 20,6 (CH₃). — ¹⁴N-NMR (ppm, CH₂Cl₂, CH₃NO₂ ext. Standard): -26, -340.

$C_{28}H_{22}PN_2O_2SAu$ (678,5) ber.: C 49,57, H 3,27, N 4,13, S 4,73; gef.: C 49,09, H 3,22, N 4,00, S 4,79%.

o-Me—C₆H₄—SO₂C(CN)CN—Re(CO)₅ (3): 113 mg (CO)₅ReFBF₃ (274 µmol) werden in 5 ml Methylenchlorid suspendiert und unter Rühren mit 70 mg festem Na[o-Me—C₆H₄—SO₂—C(CN)₂] (289 µmol) versetzt. Nach 2 h

Tabelle 6 Ausgewählte Bindungsabstände [pm] und Winkel [$^\circ$] in **1**

Re1—C1	203(1)	Re1—C2	199(1)	Re1—C3	199(1)
Re1—C4	200(1)	Re1—C5	194(1)	Re1—N1	219,0(8)
N1—O6	126(1)	N1—C6	135(1)	C6—C7	141(2)
C6—C8	143(2)	C7—N2	115(2)	C8—N3	110(2)
C1—Re1—N1	85,0(4)	C2—Re1—N1	87,8(4)	C3—Re1—N1	95,8(4)
C4—Re1—N1	94,9(4)	C5—Re1—N1	175,7(4)	Re1—N1—O6	115,9(6)
Re1—N1—C6	127,2(7)	O6—N1—C6	117,0(8)	N1—C6—C7	120(1)
N1—C6—C8	119,5(9)	C7—C6—C8	120(1)	C6—C7—N2	176(1)
C6—C8—N3	175(1)				

Tabelle 7 Ausgewählte Bindungsabstände [pm] und Winkel [$^\circ$] in **2**

Au1—P1	223,1(2)	Au1—N1	202,0(4)	N1—C19	114,6(7)
C19—C20	137,3(7)	C20—C21	145,0(8)	C21—N2	110,6(9)
P1—Au1—N1	179,0(1)	N1—C19—C20	178,0(5)	C19—C20—C21	121,7(4)
C19—C20—S1	117,4(4)	S1—C20—C21	120,4(4)	C20—C21—N2	179,3(4)

Tabelle 8 Ausgewählte Bindungsabstände [pm] und Winkel [$^\circ$] in **6**

Au1—P2	225,4(2)	Au1—S1	231,5(3)	S1—P1	202,4(2)
P1—N1	159,8(4)	N1—C13	126,7(7)	C13—N2	114,9(8)
Au1—S1—P1	96,9(1)	P2—Au1—S1	175,1(1)	S1—P1—C12	109,3(1)
S1—P1—C6	107,3(1)	S1—P1—N1	116,9(1)	N1—P1—C12	110,9(2)
N1—P1—C6	105,3(2)	C6—P1—C12	106,5(2)	P1—N1—C13	123,1(3)
N1—C13—N2	176,7(5)				

Standardabweichungen in Klammern

Röhren bei Raumtemperatur wird der aus Natriumtetrafluoroborat und unumgesetztem Sulfonat bestehende Niederschlag abzentrifugiert und zweimal mit je 5 ml Methylenchlorid extrahiert. Die gesammelten Lösungen werden bis fast zur Trockne eingeengt. Das Produkt wird durch Eintropfen dieser konzentrierten Methylenchlorid-Lösung in 20 ml kaltes Hexan ausgefällt und aus Methylenchlorid/Hexan 1:2 umkristallisiert. Dabei fällt **3** als mikrokristalliner orangefarbener Niederschlag an.

Ausbeute: 96 mg (64%). — IR (cm^{-1} , in Nujol): 2219 s, br, 2180 s (ν_{CN}), 2162 s, 2115 sh, 2105 m, 2054 vs, 2011 sh, 1996 vs (ν_{CO}), 1315 (ν_{asSO_2}), 1148 (ν_{sSO_2}). — ^{13}C -NMR (ppm, d_6 -Aceton): 178,7, 177,0 (CO); 142,0, 135,3, 131,6, 131,2, 127,2, 125,1 (Aromat); 128,5 (CN—Re), 124,7 (CN), 45,8 ($\text{SC}(\text{CN})_2$), 19,2 (CH_3). — ^{14}N -NMR (ppm, CH_2Cl_2 , CH_3NO_2 als ext. Standard): -99, -228.

$\text{C}_{14}\text{H}_{2}\text{N}_2\text{O}_2\text{SRe}$ (545,4) ber.: C 33,03, H 1,29, N 5,13, S 5,87; gef.: C 32,16, H 1,31, N 5,02, S 6,02%.

o-Me—C₆H₄—SO₂NCN—AuPPh₃, (**4**): Darstellung analog **2** aus 100 mg $\text{Ph}_3\text{PAuNO}_3$ (192 μmol) und 45 mg $\text{Na}[\text{o-Me—C}_6\text{H}_4\text{—SO}_2\text{—NCN}]$ (206 μmol).

Ausbeute: 96 mg (74%). — IR (cm^{-1} , in Nujol): 2192 vs (ν_{CN}), 1302 vs (ν_{asSO_2}), 1153 vs (ν_{sSO_2}). — ^{13}C -NMR (ppm, CDCl_3): 141,2, 136,9, 131,8, 131,5, 127,6, 125,3 (Aromat), 122,6 (NCN), 20,2 (CH_3). — ^{14}N -NMR (ppm, CDCl_3 , CH_3NO_2 ext. Standard): -237.

$\text{C}_{26}\text{H}_{22}\text{PN}_2\text{O}_2\text{SAu}$ (654,5) ber.: C 47,72, H 3,39, N 4,28, S 4,90; gef.: C 46,82, H 3,43, N 4,04, S 5,14%.

o-Me—C₆H₄—SO₂—NCN—Re(CO)₅, (**5**): Darstellung analog **5** aus 100 mg $(\text{CO})_5\text{ReFBF}_3$ (242 μmol) und 55 mg $\text{Na}[\text{o-Me—C}_6\text{H}_4\text{—SO}_2\text{—NCN}]$ (252 μmol). Durch Umkristallisieren des Produktes aus Methylenchlorid/Hexan 1:2 bei -36 °C erhält man farblose Nadeln.

Ausbeute: 87 mg (67%). — IR (cm^{-1} , in Nujol): 2221 s, br, 2161 m, 2102 m, 2052 vs, 1994 vs, 1950 sh (ν_{CO}), 1314 vs, 1279 s, 1251 vs (ν_{asSO_2}), 1158 vs, 1131 s (ν_{sSO_2}). — ^{13}C -NMR (ppm, CH_2Cl_2 , C_6D_6): 180,0, 176,9 (CO); 142,8 (1-S), 137,2, 132,4, 132,1, 127,9, 125,9 (Aromat); 128,4 (NCN), 20,5 (CH_3). — ^{14}N -NMR (ppm, CDCl_3 , CH_3NO_2 ext. Standard): -237.

$\text{C}_{12}\text{H}_{7}\text{N}_2\text{O}_2\text{SRe}$ (521,35) ber.: C 29,92, H 1,34, N 5,37, S 6,14; gef.: C 30,73, H 1,86, N 5,44, S 5,77%.

Ph₂P(S—AuPPh₃)NCN, (**6**): 100 mg $\text{Ph}_3\text{PAuNO}_3$ (192 μmol) werden in 5 ml Methylenchlorid gelöst und unter Röhren mit 60 mg festem $\text{Na}[\text{Ph}_2\text{P(S)NCN}]$ (214 μmol) versetzt. Nach 2 h Röhren bei Raumtemperatur wird der aus Natriumnitrat und unumgesetztem Phosphinat bestehende Niederschlag abzentrifugiert und zweimal mit je 5 ml Methylenchlorid extrahiert. Die gesammelten Lösungen werden auf 5 ml eingeengt und in kaltes Hexan getropft, worauf das Produkt als farbloser Niederschlag ausfällt. Für die Röntgenstrukturanalyse geeignete Kristalle wurden durch Abkühlen einer Lösung von **6** in Methylenchlorid/Aceton 1:1 über Nacht erhalten.

Ausbeute: 132 mg (93%). — IR (cm^{-1} , in Nujol): 2169 vs (ν_{asNCN}), 1267 (ν_{NCN}). — ^{13}C -NMR (ppm, d_6 -Aceton): 137,5, 131,9, 128,7, 126,5 (Aromat); 128,5 (NCN). — ^{14}N -

NMR (ppm, CH_2Cl_2 , CH_3NO_2 ext. Standard): -213. — ^{31}P -NMR (ppm, CH_2Cl_2): 47,9, 37,6.

$\text{C}_{31}\text{H}_{25}\text{N}_2\text{PSAu}$ (716,5) ber.: C 51,96, H 3,52, N 3,91, S 4,47; gef.: C 51,57, H 3,47, N 3,94, S 4,50%.

Der Deutschen Forschungsgemeinschaft und dem Fonds der Chemischen Industrie gilt unser herzlicher Dank für großzügige Förderung.

Literatur

- [1] 74. Mitteilung von *W. Beck* und Mitarb., *W. Weigand, W. Beck*, Z. anorg. allg. Chem. **600** (1991) 227
- [2] *H. Köhler, B. Eichler, F. Salewski*, Z. anorg. allg. Chem. **379** (1970) 183; *H. Köhler*, Z. Chem. **11** (1971) 385, **13** (1973) 401; Pure Appl. Chem. **52** (1980) 879; Nova Acta Leopoldina, N.F. Nr. **264**, 59 (1985) 259; *H. Köhler, U. Grobe*, Wiss. Z. Univ. Halle XXXIX'90 M, Heft 2, 3
- [3] *A. M. Golub, H. Köhler, V. V. Skopenko*, Chemistry of Pseudohalides, Elsevier, Amsterdam 1986
- [4] *W. Beck, K. Sünkel*, Chem. Rev. **88** (1988) 1405
- [5] *K. Raab, W. Beck*, Chem. Ber. **118** (1985) 3830
- [6] *W. Sacher, U. Nagel, W. Beck*, Chem. Ber. **120** (1987) 895
- [7] *E. Fritsch, W. Beck*, unveröffentlicht
- [8] *R. J. Puddephatt*, in: Comprehensive Coordination Chemistry, *G. Wilkinson, R. D. Gillard, J. A. McCleverty* (Hrsg.), Vol. 5, Pergamon Press, Oxford 1987, S. 861
- [9] *A. Kolbe, H. Köhler*, Z. anorg. allg. Chem. **373** (1970) 230; *V. V. Skopenko, Y. L. Zub, M. A. Porai Kosic, G. G. Sadikov*, Ukrain. Chim. Z. **45** (1979) 811; *H. Köhler, M. Jeschke, A. Kolbe*, Z. anorg. allg. Chem. **559** (1988) 131
- [10] *L. Jäger, K. Polborn, W. Beck*, Z. anorg. allg. Chem., im Druck
- [11] *A. M. Golub, H. Köhler, V. V. Skopenko*, Chemistry of Pseudohalides, Elsevier, Amsterdam 1986; *V. V. Skopenko, Y. L. Zub, M. A. Porai-Kosic, G. G. L. Sadikov*, Ukr. Khim. Zh. **45** (1979) 811
- [12] *Y. M. Chow, C. Britton*, Acta Crystallogr. **B30** (1976) 1117
- [13] *Y. L. Zub*, Dissertation, Staatsuniv. Kiew 1982; *V. V. Skopenko, Y. L. Zub, V. F. Boleli, H. Köhler*, Koord. Khim. **10** (1984) 1317
- [14] *W. Beck, K. Raab*, Inorg. Synth. **26** (1989) 108; **28** (1990) 16
- [15] *C. Malatesta, C. Naldini*, Coord. Chem. Rev. **1** (1966) 255
- [16] *H. Köhler, G. Lux*, Inorg. Nucl. Chem. Lett. **4** (1968) 133
- [17] *L. Jäger, B. Freude, R. Skirl, H. Köhler*, Publikation in Vorbereitung; *L. Jäger, V. I. Nefedov, K.-H. Richter, B. Freude, H. Köhler*, Z. anorg. allg. Chem. **605** (1991) 125
- [18] *L. Jäger, H. Köhler, A. I. Brusilovec, A. I. Skopenko*, Z. anorg. allg. Chem. **564** (1988) 85
- [19] Weitere Einzelheiten zur Kristallstrukturuntersuchung können beim Fachinformationszentrum Karlsruhe, Gesellschaft für wissenschaftlich-technische Information mbH, W-7514 Eggenstein-Leopoldshafen 2, unter Angabe der Hinterlegungsnummer CSD 56146, der Autorennamen und des Zeitschriftenzitats angefordert werden

Korrespondenzanschrift:

Prof. Dr. W. Beck
Institut für Anorganische Chemie der Universität
Meiserstr. 1
W-8000 München 2, Bundesrepublik Deutschland